

**Legenda**

**Elementi geomorfologici**

Forme e processi gravitativi  
Dispositivi di frana  
Orlo di scarpata secondaria all'interno del corpo di frana  
a) certo/definito b) presunta/mai definito

attivo quiescente stabilizzato  
a) b) c) d) e) f) g) h) i) j) k) l) m) n) o) p) q) r) s) t) u) v) w) x) y) z)

Nicchia principale di frana  
a) certa/definita b) presunta/mai definita  
a) b) c) d) e) f) g) h) i) j) k) l) m) n) o) p) q) r) s) t) u) v) w) x) y) z)

Scivolamento rotazionale/traslato  
a) b) c) d) e) f) g) h) i) j) k) l) m) n) o) p) q) r) s) t) u) v) w) x) y) z)

Crollo  
a) b) c) d) e) f) g) h) i) j) k) l) m) n) o) p) q) r) s) t) u) v) w) x) y) z)

Movimento complesso  
a) b) c) d) e) f) g) h) i) j) k) l) m) n) o) p) q) r) s) t) u) v) w) x) y) z)

Area interessata da sollievo  
a) b) c) d) e) f) g) h) i) j) k) l) m) n) o) p) q) r) s) t) u) v) w) x) y) z)

Scarpata di denudamento / degradazione  
a) b) c) d) e) f) g) h) i) j) k) l) m) n) o) p) q) r) s) t) u) v) w) x) y) z)

Depositi eluvio colluviali: 1) spessore <2m; 2) spessore >2m  
a) interpretato b) affiorante

Depositi detritico colluviali: 1) spessore <2m; 2) spessore >2m  
a) interpretato b) affiorante

Grossi blocchi isolati e traslati  
a) b) c) d) e) f) g) h) i) j) k) l) m) n) o) p) q) r) s) t) u) v) w) x) y) z)

Area a grossi blocchi  
a) b) c) d) e) f) g) h) i) j) k) l) m) n) o) p) q) r) s) t) u) v) w) x) y) z)

Depressione morfologica  
a) b) c) d) e) f) g) h) i) j) k) l) m) n) o) p) q) r) s) t) u) v) w) x) y) z)

Orlo di scarpata di degradazione/denudamento  
a) b) c) d) e) f) g) h) i) j) k) l) m) n) o) p) q) r) s) t) u) v) w) x) y) z)

Forme legate alla dinamica dei corsi d'acqua  
a) b) c) d) e) f) g) h) i) j) k) l) m) n) o) p) q) r) s) t) u) v) w) x) y) z)

Orlo di scarpata fluviale attuale e recente  
a) b) c) d) e) f) g) h) i) j) k) l) m) n) o) p) q) r) s) t) u) v) w) x) y) z)

Orlo di scarpata fluviale antico  
a) b) c) d) e) f) g) h) i) j) k) l) m) n) o) p) q) r) s) t) u) v) w) x) y) z)

Orlo di scarpata di erosione regressiva  
a) b) c) d) e) f) g) h) i) j) k) l) m) n) o) p) q) r) s) t) u) v) w) x) y) z)

Conoide alluvionale e detritico-alluvionale  
a) b) c) d) e) f) g) h) i) j) k) l) m) n) o) p) q) r) s) t) u) v) w) x) y) z)

Erosione lineare concentrata  
a) b) c) d) e) f) g) h) i) j) k) l) m) n) o) p) q) r) s) t) u) v) w) x) y) z)

Impiluvio: a) attivo; b) stagionale  
a) b) c) d) e) f) g) h) i) j) k) l) m) n) o) p) q) r) s) t) u) v) w) x) y) z)

Area umida  
a) b) c) d) e) f) g) h) i) j) k) l) m) n) o) p) q) r) s) t) u) v) w) x) y) z)

**Depositi alluvionali**  
a) b) c) d) e) f) g) h) i) j) k) l) m) n) o) p) q) r) s) t) u) v) w) x) y) z)

Depositi alluvionali attuali e recenti a) interpretato; b) affiorante  
a) b) c) d) e) f) g) h) i) j) k) l) m) n) o) p) q) r) s) t) u) v) w) x) y) z)

Depositi alluvionali antichi a) interpretato; b) affiorante  
a) b) c) d) e) f) g) h) i) j) k) l) m) n) o) p) q) r) s) t) u) v) w) x) y) z)

**Unità Geologiche**  
a) b) c) d) e) f) g) h) i) j) k) l) m) n) o) p) q) r) s) t) u) v) w) x) y) z)

Sistema del Fiume Calore (SFL1, SFL2, SFL3, SFL4)  
a) b) c) d) e) f) g) h) i) j) k) l) m) n) o) p) q) r) s) t) u) v) w) x) y) z)

Depositi Vulcanoclastici (vu)  
a) b) c) d) e) f) g) h) i) j) k) l) m) n) o) p) q) r) s) t) u) v) w) x) y) z)

Substrato Pre Quaternario indifferenziato (BNA2, BNA3, BNA1b, ANZ2, ANZ2a, FYR, FYR2)  
a) b) c) d) e) f) g) h) i) j) k) l) m) n) o) p) q) r) s) t) u) v) w) x) y) z)

**Elementi geologici e morfostutturali**  
a) b) c) d) e) f) g) h) i) j) k) l) m) n) o) p) q) r) s) t) u) v) w) x) y) z)

Fotolineamento  
a) b) c) d) e) f) g) h) i) j) k) l) m) n) o) p) q) r) s) t) u) v) w) x) y) z)

Ammasso detensionato e/o rilasciato  
a) b) c) d) e) f) g) h) i) j) k) l) m) n) o) p) q) r) s) t) u) v) w) x) y) z)

Scarpata/superficie di origine tettonica  
a) b) c) d) e) f) g) h) i) j) k) l) m) n) o) p) q) r) s) t) u) v) w) x) y) z)

Faglia: a) certa; b) presunta/interpretata da fotolineamento  
a) b) c) d) e) f) g) h) i) j) k) l) m) n) o) p) q) r) s) t) u) v) w) x) y) z)

Sovraccorrimiento: a) certo; b) interpolato  
a) b) c) d) e) f) g) h) i) j) k) l) m) n) o) p) q) r) s) t) u) v) w) x) y) z)

Orlo di scarpata di origine tettonica  
a) b) c) d) e) f) g) h) i) j) k) l) m) n) o) p) q) r) s) t) u) v) w) x) y) z)

Limite geologico: a) di affioramenti e limiti litologici certi; b) supposti e limiti di affioramenti parzialmente disarticolati ove non è possibile determinare la giacitura degli strati  
a) b) c) d) e) f) g) h) i) j) k) l) m) n) o) p) q) r) s) t) u) v) w) x) y) z)

**Forme antropiche**  
a) b) c) d) e) f) g) h) i) j) k) l) m) n) o) p) q) r) s) t) u) v) w) x) y) z)

Depositi di origine antropica  
a) b) c) d) e) f) g) h) i) j) k) l) m) n) o) p) q) r) s) t) u) v) w) x) y) z)

Canale  
a) b) c) d) e) f) g) h) i) j) k) l) m) n) o) p) q) r) s) t) u) v) w) x) y) z)

Orlo di scarpata di origine antropica  
a) b) c) d) e) f) g) h) i) j) k) l) m) n) o) p) q) r) s) t) u) v) w) x) y) z)

**Altri simboli**  
a) b) c) d) e) f) g) h) i) j) k) l) m) n) o) p) q) r) s) t) u) v) w) x) y) z)

Traccia sezione geologica - geomorfologica  
a) b) c) d) e) f) g) h) i) j) k) l) m) n) o) p) q) r) s) t) u) v) w) x) y) z)

Tracciato in progetto  
a) b) c) d) e) f) g) h) i) j) k) l) m) n) o) p) q) r) s) t) u) v) w) x) y) z)

Cava  
a) b) c) d) e) f) g) h) i) j) k) l) m) n) o) p) q) r) s) t) u) v) w) x) y) z)

**Cantieri**

CB - Cantiere Base  
GN - Cantiere Operativo  
DT - Deposito Temporaneo  
AT - Area Tecnica  
Viabilità  
AR - Cantiere Di  
AS - Area Di  
Stoccaggio

**Indagini geognostiche in sito**

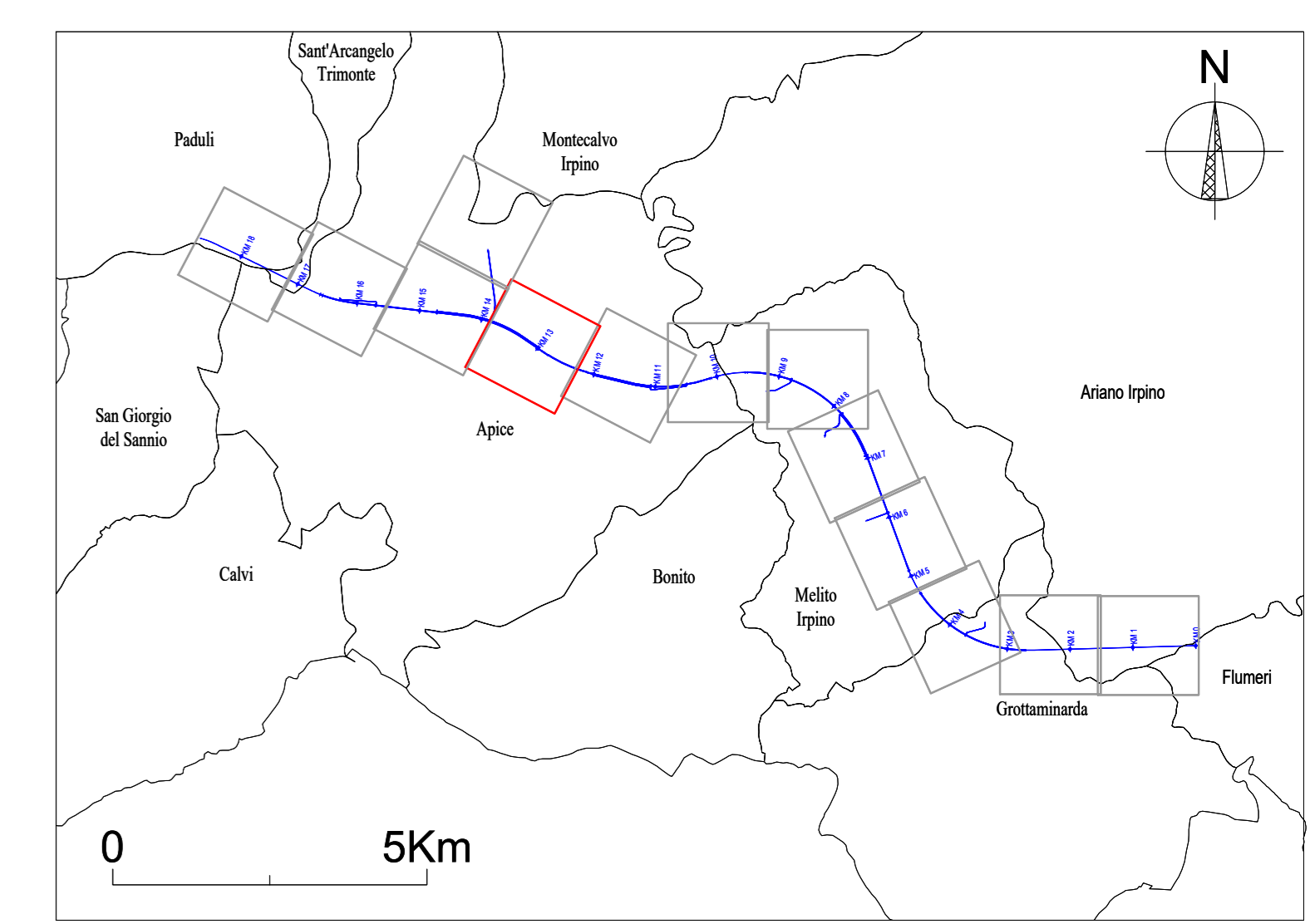
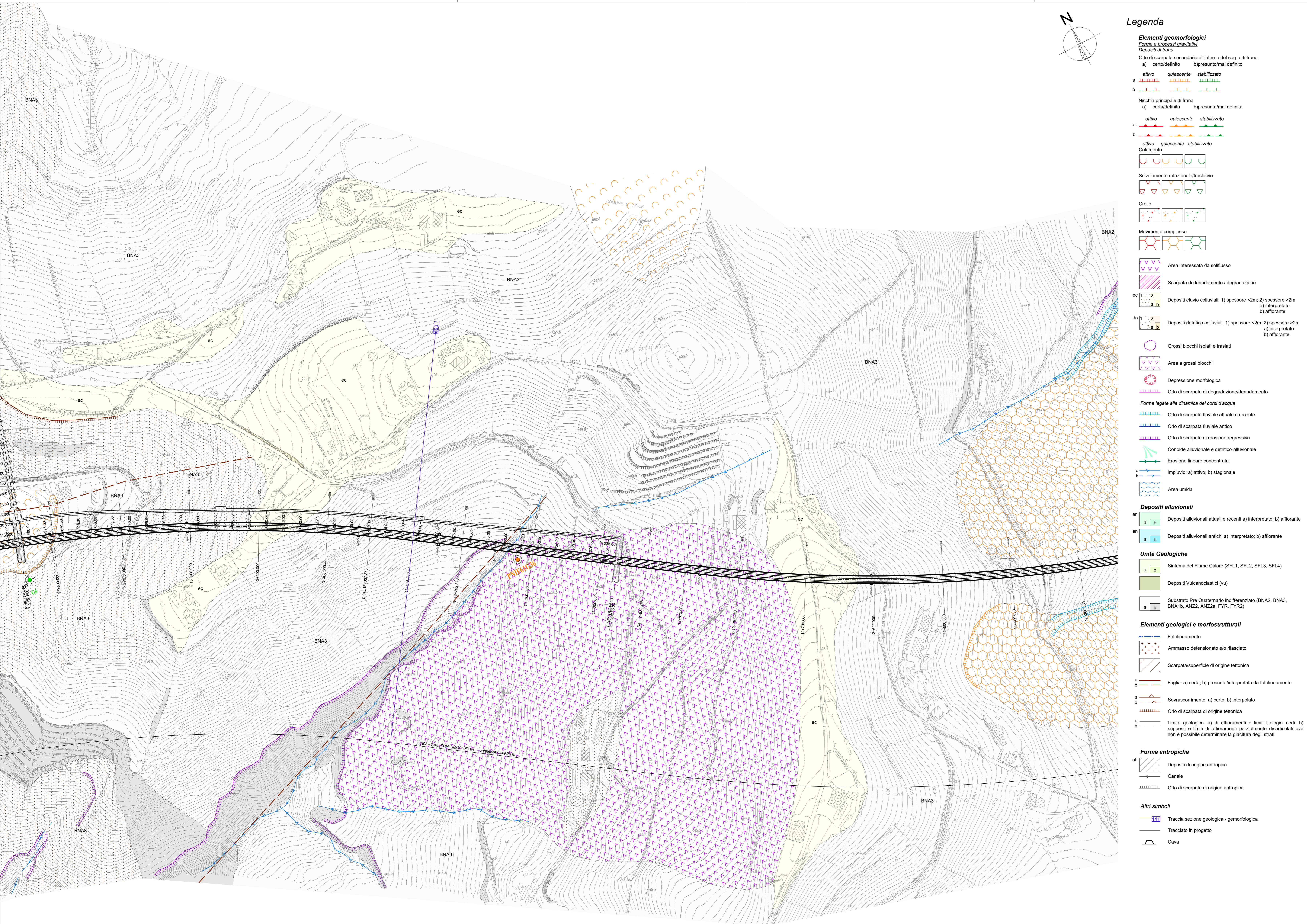
Sondaggio a carotaggio continuo non attrezzato  
Sondaggio a carotaggio continuo attrezzato con piezometro  
Sondaggio a carotaggio continuo attrezzato con inclinometro  
Sondaggio a carotaggio continuo attrezzato per sismica in foro  
Sondaggio a distruzione di nucleo attrezzato con inclinometro

**Indagini sismiche**

Stendimento sismico a rifrazione (nella zona della frana Grottaminarda anche a rifrazione e geoelettrica)  
Linee in tomografia elettrica 2D con ripetizione nel tempo (elapsed time)

Campagna indagini 1984/1986  
Campagna indagini 2005  
Campagna indagini 2006  
Campagna indagini 2015  
Campagna indagini 2017  
Campagna indagini 2019

I colori si applicano alle indagini sia geognostiche sia sismiche



COMMITTENTE: RFI  
DIREZIONE LAVORI: ITALFERR  
APPALTATORE: HIRPINIA AV  
CONSORZIO: salini impreglio, ASTALDI  
PROGETTAZIONE: MANDATARIA: ROCKSOIL S.p.A. MANDANTI: NET ENGINEERING, Alpina S.p.A.  
PROGETTO ESECUTIVO  
ITINERARIO NAPOLI - BARI  
RADDOPPIO TRATTA APICE - ORSARA  
I LOTTO FUNZIONALE APICE - HIRPINIA  
GEOLOGIA  
STUDIO GEOLOGICO GENERALE  
CARTA GEOMORFOLOGICA  
Tav. 9/13  
APPALTATORE: Consorzio HIRPINIA AV  
DIRETTORE DELLA PROGETTAZIONE: Il Responsabile integrazione fra le varie prestazioni geotecniche  
PROGETTISTA: ROCKSOIL S.p.A.  
COMMESSA: I F 2 8 / 0 1 E Z Z N 6 / G E 0 1 0 3 / 0 0 9 B / 1:2000  
Rev. Descrizione Redatto Data Verificato Data Approvato Data Autorizzato Data  
A Emersione per consegna P. Perillo 21/02/2020 A. Barro 21/02/2020 M. Gatti 21/02/2020 Ing. G. Cassari  
B Revisione per stesura P. Perillo 10/06/2020 F. Perrino 10/06/2020 M. Gatti 10/06/2020  
File: IF2801EZZNGE0103009B.dwg n. Etab.: -

